

# 離散化モデルに対する帶幅減少の為の節点番号付け

岡山大学 正員 谷口健男

## 1. まえがき

多元連立一次方程式を帶行列法を用ひて効率的に解こうとする場合、対象行列の帶幅を小さくする必要がある。今日まで例えば Cuthill-McKee Algorithm (C-M 法), Gibbs-Poole-Stockmeyer Algorithm (G-P-S 法) 等多くの方法が提案され、「さ」が一般に、帶幅減少法に要求される条件は (1, 1), より少い演算時間<sup>2)</sup>, 2), より小さな带幅が得られる事、が挙げられる。一方、構造解析の分野においては、今日、有限要素法 (FEM), 差分法 (FD 法) が解説法の主流で、解の精度の理由により、あるいは系の巨大化・複雑化により、解が求められない限り連立一次方程式もまた、非常に多くの元数を有するものとなりつつあり、従々上記諸手法がしばしば利用されるようになつた。しかしながら、これら諸手法は、適用性のあるものであるが故に、逆に FEM, FD 法といったメッシュ系固有の特性、例えば<sup>3)</sup> a). 節点は内部節点と境界上の節点に分類され、b). メッシュパラメータが比較的簡単なものが多いため、等を有効に利用できたり。上述した帶幅減少法に要求される 2 条件を更に十分に満たすには、これらの特性を利用すべきであると考えられる。一方、白石・谷口はすう<sup>4)</sup>は、a) の特性を導入して帶幅減少法をすうに提案している。本研究では、彼らの方法に、更に b) の特性を導入を図り、より効果的な帶幅減少法の提案を行う。

## 2. 帯幅減少法

離散化モデルにおける荷重ベクトル  $R$  と、変位ベクトル  $U$  との間に下式が成立す。

$$R = K \cdot U \quad (1)$$

ただし、 $K$  は剛性行列があり、通常対称性 ( $k_{ij} = k_{ji}$ ) を有し、更に、多くの要素が零である場合が多く、 $\approx 2^n$  も、 $\approx n^2$  と仮定する。行列  $K$  の半帶幅 HBW は、

$$HBW = \max_{i=1}^n |j-i|, \text{ただし } j \neq i \text{ かつ } k_{ij} \neq 0. \quad (2)$$

行列  $K (n \times n)$  に対して、 $1, 2, \dots, n$  と番号付けて  $n$  個の点を準備し、 $K$  の上三角行列内の全ての  $k_{ij} (\neq 0)$  に対して  $i, j$  点と  $j$  点 ( $= u_i, v_j$  と示す) を繋ぎ結ぶ（この関係を“隣接”と呼ぶ）といふ操作を行なうことをいふ。 $K$  は 1 つのグラフ:  $G(n)$  を表現できる。 $u_i, v_j$  が隣接関係にあれば  $adj. u_i \rightarrow v_j$  と示せば、(2) 式は、

$$HBW = \max |j-i|, \text{ただし } v_j \in adj. u_i \quad (3)$$

最小半帶幅 ( $\min HBW$ ) を求めることは、(2) 式<sup>2)</sup> は行列の入れ替え、(3) 式<sup>4)</sup> は、点番号の付け換えによるものである。すなはち、新たに言葉の定義を行う。 $G(X)$  のレベル構造

$$L = \{L_0, L_1, L_2, \dots, L_e\} \quad (4)$$

とは、 $G$  の点  $X$  をその 2 次元座標すように部分集合  $L_i$  に分割する事である。

$$adj. (L_i) \subseteq L_{i-1} \cup L_{i+1} \quad (5)$$

$$adj. (L_0) \subseteq L_1, \quad adj. (L_e) \subseteq L_{e-1} \quad (6)$$

$G$  がレベル構造  $L$  で表わされた時、 $G$  の “幅” ( $w$ ) は下式<sup>4)</sup> で定義される。

$$w = \max \{ |L_i| \mid L_i \in L \} \quad (7)$$

文献<sup>5)</sup> において提案士山<sup>6)</sup> が図示帶幅減少法。

$$HBW \doteq w \quad (8)$$

すなはち、 $\min HBW$  は、レベル構造の幅の最小値  $\min w$  に近似し、従々  $\min HBW$  を求めると  $i=1$  で、 $w$  の最小化を行なう事である。

別立て C-M 法, G-R-S 法<sup>24</sup>は、グラフ  $G$  の長手軸を出し、その端点よりレベル構造を作り、そのレベル構造の幅をより小さくさせることで手順に多くの  $\min w$  を達成しようとす。一方、白石・谷口の方法は、 $\min w$  の位置をまだ見出しそのままで構成する輪廓を探し出し、その位置より、レベル構造を作り上げるという。上記2法とは逆の手順を行う（図-1参照）。従つ2、前2者は  $m, w$  を階層的にしか行いえないものに対し、後者は直接  $\min w$  を求める。このように、 $\min HBW$  を求める  $w$  を直接見出しきり可能な場合としない場合との間に、元の構造系の境界上に位置する節点の活用がある。一方、FEM 等の数値解析では、やむを得ず前のグラフにおいても境界点と内部点を区別するしか可能がない。上記2法は、これら数値解析モードに対する手順が異なる。

図-1に示されるアルゴリズムよりも明らかのように、 $\min HBW$  を求める手順のほとんどで、レベル構造を作成が含まれる。従つ2、白石・谷口の方法を改良しようとすれば、このレベル構造作成法を改めるのが最も適当であり、第3節においては、今まで示した FEM メッシュ系固有の特性 b) の “レベル構造作成法への導入” を図る。なお、文献3) のアルゴリズムにおいて、 $L_i$  より  $L_{i+1}$  を生成する方法は、いに食込まれる全ての点の階層性を保つ、 $L_{i+1}$  を求める”である。

### 3. 新たなレベル構造作成法の提案

ここでは、2次元連続体の有限要素解析によく利用される三角形要素と四角形要素を対象とする考察を加える。図-2 は、これら要素が整然と配達されている場合を示し、このようないくつかの例をレギュラーメッシュと呼ぶことにある。図-2 よりも明らかのように、グラフ “レギュラーメッシュ”

における、 $L_i$  と  $L_{i+1}$  を求める場合、

- ① 三角形では 1 点起き
- ② 四角形では 2 点起き

の  $L_i$  内の点より探せばよい（図-2, a および b 参照）。従つ2、3) が示す通り、レギュラーメッシュにおける要素がレギュラーメッシュであれば、レベル構造作成の手順は、白石・谷口の方法と比較して、

- ① 三角形では  $\frac{1}{2}$ ,
- ② 四角形では  $\frac{1}{3}$

に減少すると見える。以後、この新たなる手順のうち前者を ESVS (Every Second Vertex Searching Method), 後者を ETVS (Every Third Vertex Searching Method) と呼ぶことにする。

通常、FEM で扱われるメッシュ系は、図-2 のようなレギュラーメッシュではなく、メッシュがレギュラーメッシュではない。従つ2、このようないくつかの例をレギュラーメッシュ系に対してても有効なように、上記 ESVS, ETVS の修正を以下で考之うとする。ただし、以下の文中では  $L_i$  には、また  $v_i$  は  $L_{i+1}$  に属する点を示し、 $adj_i u_d \rightarrow v_p$  をある点  $v_p$  を探し出すように、修正を行う。

#### 3-1. 三角形メッシュ系

三角形要素<sup>25)</sup> あることをす）、 $u_d, v_p$  の関係は、基本的には図-3 に示す 2) の場合しか存在しない。

Case 1 : ESVS に對し、 $u_d$  または  $u_d$  の 1 つしかが ESVS

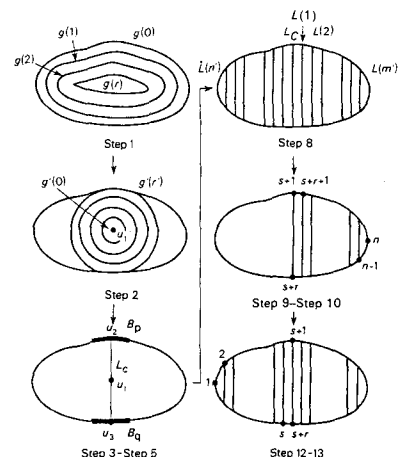


図-1. アルゴリズム

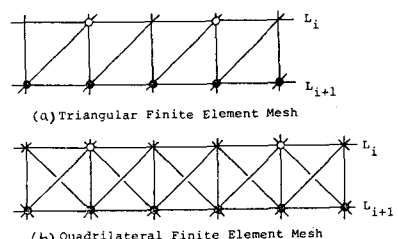


図-2. レギュラーメッシュ

用い3点を二つ明瞭かがり、従、 $2 U_\beta$  は必ず捨てられる。

Case 2：もし、 $U_\alpha$  が  $L_i \cup L_{i+1}$  に用い3点ならば、 $U_\beta (\in \text{adj}_\beta U_\alpha)$  は必ず捨てられる。従、2問題ともには、 $U_\alpha$  が  $L_i \cup L_{i+1}$  に用い3点ない場合があり。この場合を更に詳細に分類すれば、 $i=1 \sim 4$  に示す3種一式で考慮される。Case 2-1 では  $U_\alpha$  が  $ESVS$  に含まれる以上  $w = U_{d-1}$  が  $ESVS$  に利用され、従、 $2 U_\beta$  は捨てられる。Case 2-2 では、 $L_{i+1}$  との隣接関係を有しない  $L_i$  の点を  $ESVS$  より除くことの条件を附加すれば、 $U_\beta$  は捨てられる  $\Rightarrow i=3$ 。いま  $\{U_\beta | v \in L_{i+1}, v \in \text{adj}_\beta U_\alpha\} = \emptyset$  2. いまた捨てられ2点の点数を  $R-\deg U_\alpha$  が定めて、次のよう修正を要すことを示す。

[修正 1： $R-\deg U_\alpha = 0$  を満たす  $U_\alpha$  は  $ESVS$  より除外。]

Case 2-3 の場合、 $U_\beta$  が  $U_\alpha$  隣接点より決して捨てられることはない。 $U_{d-1}$  は、しかし否から、 $U_\alpha$  ( $d \leq d$ ) エリ捨てられ可能性を持つことあり。 $U_\beta$  を捨てた場合には次のよう修正が必要となる。

[修正 2： $R-\deg U_\alpha = 2$  の点  $U_\beta$  は  $ESVS$  に含める。]

2. 残す4点の隣接点  $R-\deg U_\alpha = 1 (= U_\beta)$  なる点  $U_\beta$  は、修正された  $ESVS$  で必ず捨てられるのか？ これにてある。このようす点が捨てられずには残点となる例は容易に見出される（図-5参照）。更に次の修正3が必要となる。ただし  $\deg U_\alpha$  とは、 $U_\alpha$  の  $L_i, L_{i+1}$  への隣接点数を示すものである。

[修正 3： $\deg U_\alpha \geq 3$  かつ  $R-\deg U_\alpha = 1$  を満たす点  $U_\alpha$  は  $ESVS$  に含める。]

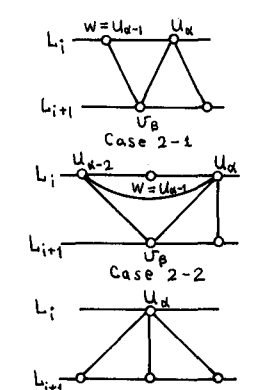
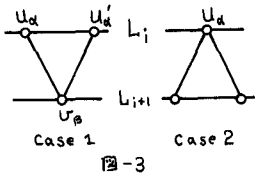


図-4

### 3-2. 四角形メッシュ系

上述の三角形メッシュの場合と同様に考えよ。 $U_\alpha \in L_i, U_\beta \in L_{i+1}, \text{adj}_\beta U_\alpha \rightarrow U_\beta$  の関係にあす  $U_\alpha, U_\beta$  は1つの四角形要素に含まれる2点（ $\alpha, \beta$  互換） $\Rightarrow$  基本的には  $U_\alpha$  の位置関係は、図-6-1=元、さら3点一式で考慮される。

Case 1： $ETVS$  に  $U_\alpha, U_\alpha', U_\alpha''$  のうち1つしか無い  $\Rightarrow ETVS$  に含まれる（ $\alpha, \beta$  互換）。 $U_\beta$  は必ず捨てられる。

Case 2： $U_\alpha, U_\alpha'$  がともに  $ETVS$  に含まれる  $\Rightarrow$  場合だけが問題である。この場合、図中の  $W, W'$  が  $ETVS$  に含まれる（ $\alpha, \beta$  互換）、 $U_\beta, U_\beta'$  が舍てられるのは、 $U_\alpha$  が、例えば  $U_{d-2}$  に隣接（ $\alpha, \beta$  互換）する（図-7参照）。 $U_{d-2}$  は、 $W$  通り捨てる可能性を有すことを考慮すれば、次の2)の修正を行なうべし。Case 2の場合の  $U_\beta, U_\beta'$  は必ず捨てられる  $\Rightarrow$  となる。

[修正 1： $R-\deg U_\alpha = 0$  の点  $U_\alpha$  は  $ETVS$  エリ除外。]

[修正 2： $R-\deg U_\alpha \geq 3$  の点  $U_\alpha$  は  $ETVS$  に含める。]

上記2)の修正を行なう未だ考慮されてないのは  $R-\deg U_\alpha = 2$  および1である場合である。このようす点  $U_\beta$  が舍てられずには残点となる例は、容易に考えられる（ $\alpha, \beta$  互換）。このための修正が必要となる。これにより、Case 3の  $U_\beta$  は必ず捨てられる。

[修正 3： $\deg U_\alpha \geq 3$  かつ  $R-\deg U_\alpha = 2$  or 1 の点  $U_\alpha$  を  $ETVS$  に含める。]

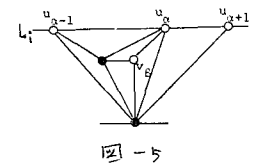


図-5

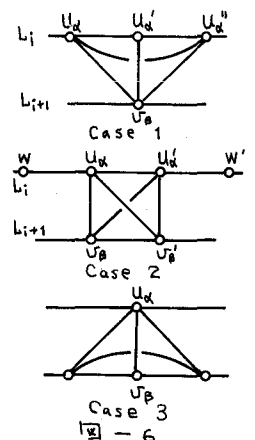


図-6

### 3-3. レベル構造木アルゴリズム

$L_i = \{U_1, U_2, \dots, U_d, \dots, U_d\}$  あり  $L_{i+1} = \{U_1, U_2, \dots, U_{d-1}, \dots, U_d\}$  を含む場合を考えよ。 $U_{d-2}$  三角形メッシュでは  $X=2, Y=5$ 、四角形メッシュでは  $X=3, Y=17$  となる。

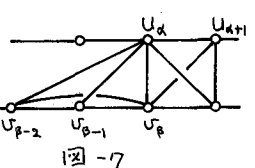


図-7

- Step 1:  $j = 1$ . Find out  $\{v \mid v \in \text{adj. } U_j\}$ .
- Step 2:  $c = 0$ .
- Step 3:  $j = j + 1$ . If  $j = d$ , find out  $\{v \mid v \in \text{adj. } U_d\}$  and go to Step 10. Otherwise, go to Step 4.
- Step 4: Calculate  $\text{Deg. } U_j$  and  $R\text{-deg. } U_j$ .
- Step 5: If  $R\text{-deg. } U_j = 0$ , go to Step 3. Otherwise, go to Step 6.
- Step 6:  $c = c + 1$ . If  $c = X$ , find out  $\{v \mid v \in \text{adj. } U_j\}$  and go to Step 2. Otherwise, go to Step 7.
- Step 7: If  $R\text{-deg. } U_j \geq X$ , find out  $\{v \mid v \in \text{adj. } U_j\}$  and go to Step 2. Otherwise, go to Step 8.
- Step 8: If  $\text{Deg. } U_j \geq Y$ , go to Step 9. Otherwise, go to Step 3.
- Step 9: Find out  $\{v \mid v \in \text{adj. } U_j\}$  and go to Step 2.
- Step 10: List is obtained.

#### 4. 數値実験 および 考察

第2節に図示した白石・谷口の方法の中でのレベル構造生成法を 上に示したアルゴリズムで書き換え、更に、数箇所の改良を行ったアルゴリズムを、三角形要素よりなる3例題に適用し、表-1のようなる結果を得た。また、得られた節点番号の一例を図-8に示す。なお、この表中のMethod 1, 2, 3は次のとおり。

Method 1: 平均次数以下の点より C-M 法により レベル構造を作成し、その中に  $\min w$  を求める。

Method 2: 最小次数の点より C-M 法により レベル構造を作成し、その中に  $\min w$  を求める。

Method 3: G-P-S 法により 出発点を更に出し、その点より レベル構造を作成し  $w$  を求める。

この数値実験より、今回提案したアルゴリズムは、Method 3と同程度の演算時間しか要せぬが、また半帶幅縮小率(2)はほとんど最小の値を有(2)(すこしすこし)。現存するアルゴリズム中の最良の中の1つと考えられる。なお、今回のアルゴリズム、元のアルゴリズムを比較すれば、演算時間に關しては約  $1/2$  となり。理論的考察の結果と一致しない。従て、2、四角形メッシュにつけた  $1/2$  も  $1/3$  の演算時間に短縮されたものと予想される。

#### 参考文献

- 1). E.Cuthill & J.McKee, Proc. ACM National Conference (1969), 157-172
- 2). N.E.Gibbs et al, SIAM J. Numer. Anal., 13 (1976), 236-250
- 3). 白石成久・谷口健男, 土木学会論文報告集, 314 (1981)
- 4). A. George, Lecture Notes in Mathematics 572 (1976), 53-101
- 5). I.Konishi et al, J. Struct. Mech., 4(2) (1976), 197-226

	New Algorithm	Method 1	Method 2	Method 3
Ex.1 HBW T(sec)	9 0.011	9 0.350	10 0.020	10 0.008
Ex.2 HBW T(sec)	12 0.024	13 3.709	18 0.030	16 0.025
Ex.3 HBW T(sec)	22 0.050	21 44.832	24 0.180	25 0.060

Table 1. Comparison of Results

[注意: Ex.1, 2, 3 の節点数は、24, 34, 42, 99, 193.]

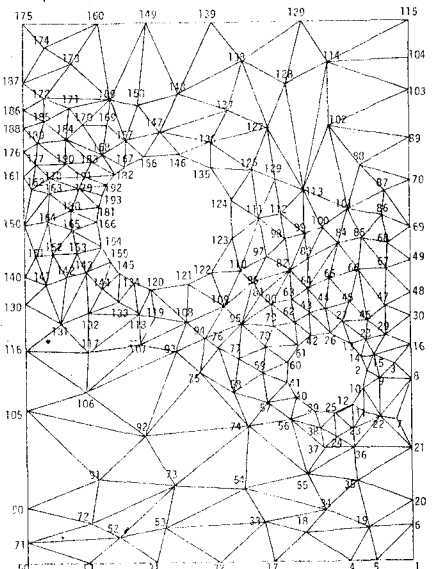


図-8. 例題3の結果